

- [2] Cowan P.L., Golovchenko J.A., Robbins M.F. - Phys. Rev. Lett., 1980, v. 44, N 25, p. 1680-1683.
- [3] Materlik G., Zegenhagen J. - Phys. Lett. Ser. A., 1984, v. 104, N 1, p. 47-50.
- [4] Казимиров А.Ю., Ковальчук М.В. - Кристаллография, 1987, т. 32, № 3, с. 730-732.
- [5] Akimoto K., Ishikawa T., Takahashi T., Kikuta S., Matsui J. - Jap. J. Appl. Phys., 1985, v. 24, N 12, p. L917-L920.
- [6] Ковальчук М.В., Кон В.Г., Лобанович Э.Ф. ФТТ, 1985, т. 27, № 11, с. 3379-3387.
- [7] Afanasev A.M., Kovalchuk M.V., Kovev E.K., Kohn V.G. - Phys. Stat. Sol.(a), v. 42, 1977, p. 415-422.

Институт кристаллографии  
АН СССР, Москва

Поступило в Редакцию  
26 апреля 1988 г.

Письма в ЖТФ, том 14, вып. 15

12 августа 1988 г.

### О СООТНОШЕНИИ МИЛЛЕРА ДЛЯ КОЭФФИЦИЕНТОВ ЛАВИННОГО УМНОЖЕНИЯ НОСИТЕЛЕЙ В $p-n$ -ПЕРЕХОДАХ

В.А. Холоднов

Лавинное размножение носителей за счет их ударной ионизации в области пространственного заряда (ОПЗ)  $p-n$ -перехода лежит в основе функционирования ряда приборов полупроводниковой техники, например лавинных фотодиодов (ЛФД), лавинно-пролетных диодов, лавинных транзисторов и тиристоров [1-5]. Для анализа работы таких приборов необходимо знать зависимости от напряжения на них  $U$  коэффициентов умножения носителей  $M(V)$ . Это нужно также знать для предотвращения отказа приборов, не использующих эффект лавинного размножения носителей. Наиболее простой способ вычисления  $M(V)$  основан на интегральных соотношениях [1, 3-8]

$$M_n = \frac{1}{1 - \tilde{m}_n}, \quad M_p = M_n \cdot \gamma(\mathcal{L}_n, -\mathcal{L}_p), \quad \tilde{M} = M_n \cdot \frac{\int_{-\mathcal{L}_p}^{\mathcal{L}_n} g(x) \cdot \gamma(x, -\mathcal{L}_p) dx}{\int_{-\mathcal{L}_p}^{\mathcal{L}_n} g(x) dx}, \quad (1)$$

где

$$\gamma(x, x_0) = \exp\left[\int_{x_0}^x (\beta - \alpha) dx\right], \quad \tilde{m}_n = \int_{-\mathcal{L}_p}^{\mathcal{L}_n} \alpha(x) \cdot \gamma(x, -\mathcal{L}_p) dx, \quad (2)$$

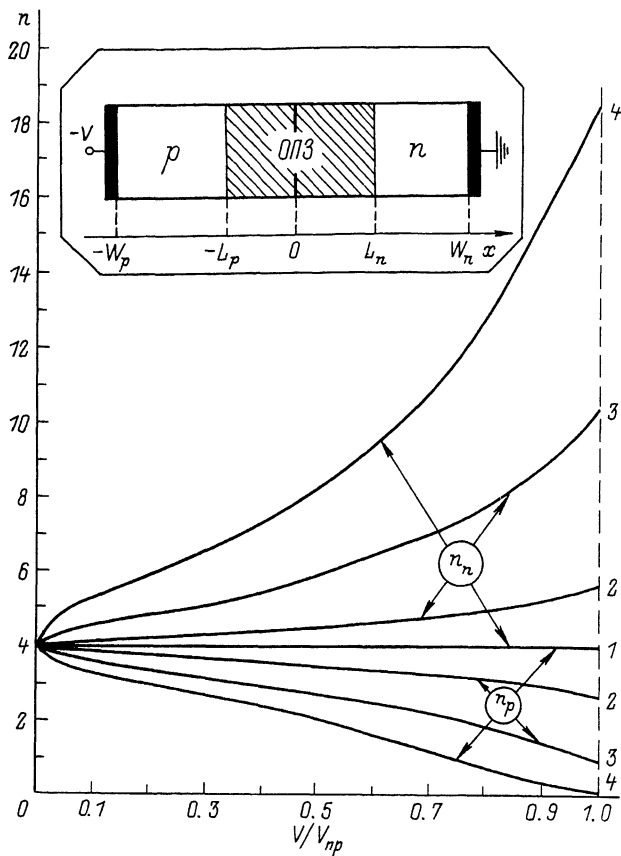


Рис. 1.

$M_n, M_p$  и  $\tilde{M}$  – коэффициенты умножения электронов и дырок, втекающих в ОПЗ и генерируемых в ней со скоростью  $g(x)$ ;  $\mathcal{L}_p$  и  $\mathcal{L}_n$  – толщины ОПЗ в  $p$ - и  $n$ -материалах (вставка на рис. 1);  $\alpha(E)$  и  $\beta(E)$  – коэффициенты ударной ионизации электронов и дырок;  $E(x)$  – электрическое поле. Имеющиеся в литературе функциональные зависимости  $\alpha(E)$  и  $\beta(E)$  позволяют, как правило, лишь численно рассчитывать  $M(V)$  в каждой конкретной ситуации [1, 4, 6, 8]. Для практических приложений весьма ценно иметь аналитические, более или менее универсальные зависимости  $M(V)$ . В литературе такие зависимости до сих пор отсутствуют, за исключением чисто эмпирических, вида

$$M(V) = \frac{1}{1 - \mathcal{U}^n}, \quad (3)$$

где  $\vartheta \equiv \frac{V}{V_{np}}$ ,  $V_{np}$  - напряжение пробоя [1-6]. Эта форма записи для  $M(V)$  впервые была предложена Миллером в 1955 г. [9] и с тех пор широко используется [1, 2, 4-6, 10, 11]. Как показывают экспериментальные исследования и численные расчеты, показатель степени  $n$  в (3) зависит от вида функции генерации первичных носителей, в том числе и фотоносителей  $g(x)$ , профиля легирования  $N(x)$ , толщин  $p$ - и  $n$ - областей  $p$ - $n$ -перехода  $W_p$  и  $W_n$  (вставка на рис. 1), от отношения  $k \equiv \frac{\beta}{\alpha}$ , а также от  $V$  [1-4, 6, 8-11].

В данной работе на основе справедливого для ряда полупроводников приближенного соотношения между  $\alpha(E)$  и  $\beta(E)$  [12]<sup>1</sup>,

$$\frac{\beta(E) - \alpha(E)}{\ln \left[ \frac{\beta(E)}{\alpha(E)} \right]} = \frac{5}{6} \cdot \left( \frac{\epsilon_0 \epsilon}{6 \cdot 10^8 e} \right)^3 \cdot \left( \frac{1,1}{\epsilon_g} \right)^6 \cdot \left( \frac{E}{10^5} \right)^7 \approx 10^{-3} \cdot \frac{\epsilon^3}{\epsilon_g^6} \cdot \left( \frac{E}{10^5} \right)^7, \quad (4)$$

в котором, как и далее, ширина запрещенной зоны полупроводника  $\epsilon_g$  измеряется в эВ,  $E$  - в В/см,  $\alpha$  и  $\beta$  - в  $\text{см}^{-1}$ , заряд электрона  $e$  - в Кл, постоянная электрическая  $\epsilon_0$  - в Ф/м, а  $\epsilon$  - относительная диэлектрическая проницаемость; показано, что во многих случаях можно получить аналитические зависимости  $M(V)$ . В частности, можно найти относительно простые аналитические выражения для  $V_{np}$  и  $n$  в соотношении Миллера (3). На примере простейшего классического случая ( $p$ - $n$ -переход - ступенчатый [1-6];  $K(E) = \text{const}$ ;  $g(x) = \text{const}$ ;  $W_p$  и  $W_n$  при  $V \approx V_{np}$  больше  $L_p$  и  $L_n$  соответственно [12, 14]) показано, что показатель степени  $n$  в соотношении Миллера (3) различен в выражениях для  $M_n(V)$ ,  $M_p(V)$  и  $\tilde{M}(V)$  и существенно зависит от  $K$  и  $V$ . Найлены предельные значения показателя степени в (3): при  $\vartheta^n \ll 1$  и при  $\Delta \vartheta \equiv 1 - \vartheta \ll 1$ , т.е. при  $V \rightarrow V_{np}$ .

В рассматриваемых условиях из выражений (1), (2) и (4) следует, что

$$M_n = \frac{1}{1 - \vartheta^{2n}}, \quad M_p = \frac{1}{1 - \vartheta^{2np}}, \quad \tilde{M} = \frac{1}{1 - \vartheta^{2k}}, \quad (5)$$

где

$$V_{np} = 6 \cdot 10^{13} \cdot \left( \frac{\epsilon_g}{1,1} \right)^{3/2} \cdot N_{\text{эф}}^{-3/4}, \quad \text{В}; \quad N_{\text{эф}} = \frac{N_D \cdot N_A}{N_D + N_A}, \quad \text{см}^{-3}; \quad (6)$$

$$n_n(K, \vartheta) = \frac{\ln \left( \frac{K \vartheta^4 - 1}{K - 1} \right)}{\ln \vartheta}; \quad n_p(K, \vartheta) = n_n(K, \vartheta) + \frac{1 - \vartheta^4}{\ln \vartheta} \cdot \ln K; \quad (7)$$

<sup>1</sup> В полученном в работе [13] аналогичном соотношении допущена ошибка в шесть порядков, а его вывод в [13] основан на предположении  $K(E) = \text{const}$ .

$$\tilde{n}(K, \vartheta) = \frac{\ln \left[ 1 + \frac{(N_A + N_D) \cdot (K \vartheta^4 - K) \cdot (K-1)^{-1}}{\left(1 + \frac{1}{9} \xi_D + \frac{1}{34} \xi_D^2\right) N_A \exp\{\theta(K) \xi_A\} + \left(1 + \frac{1}{9} \xi_A + \frac{1}{34} \xi_A^2\right) N_D \exp\{[1 - \theta(K)] \xi_D\}} \right]}{\ln \vartheta^4}, \quad (8)$$

при  $\xi_A \equiv \frac{N_{ЭФ}}{N_A} \cdot \vartheta^4 \cdot \ln K \leq 1$  и  $\xi_D \equiv \frac{N_{ЭФ}}{N_D} \cdot \vartheta^4 \cdot \ln K \leq 1$ ;

$$\tilde{n} = \frac{8 \vartheta^4 \cdot \ln K_{ЭФ}}{\ln \vartheta} \cdot \frac{1 - K_{ЭФ}^{1-\vartheta^4}}{K_{ЭФ} - 1}, \text{ при } K_{ЭФ} \gg 1 \quad \text{или} \quad K_{ЭФ} \gg 1; \quad (9)$$

$N_D$  и  $N_A$  – концентрации мелких легирующих доноров и акцепторов в  $n$ - и  $p$ -областях структуры;  $\theta(K)$  – тета-функция;  $K_{ЭФ} \equiv K + K^{-1}$ . Формула (6) для  $V_{пр}$  при  $N_D \ll N_A$  или при  $N_A \ll N_D$  переходит в общеизвестное соотношение Зи-Гиббонса [1, 15]. Из выражений (7)–(9) следует: если  $K = 1$ , то  $n_n = n_p = \tilde{n} = 4$  независимо от напряжения на структуре  $V$ ; при  $V \rightarrow V_{пр}$ , точнее, если  $\Delta \vartheta \ll \min \left\{ \frac{0,25}{|\ln K|}; 0,25 \right\}$ , то

$$n_p = 4 \frac{\ln K}{K-1}, \quad n_n = K \cdot n_p, \quad \tilde{n} = 32 \frac{\ln^2 K_{ЭФ}}{K_{ЭФ}} \quad (10)$$

(соотношение (10) для  $\tilde{n}$  справедливо при  $K_{ЭФ} \gg 1$ ); при  $V \ll V_{пр}$ , точнее, если  $\left| \frac{\ln K}{\ln \vartheta} \right| \ll 4$ , то  $n_n = n_p = \tilde{n} = 4$  независимо от величины отношения  $K = \beta/\alpha$ .

На рис. 1 приведены зависимости  $n_n(\vartheta)$  и  $n_p(\vartheta)$  при  $K = 1$  (кр. 1), при  $K = 2$  (кр. 2), при  $K = 10$  (кр. 3) и при  $K = 100$  (кр. 4). На рис. 2 приведены зависимости  $n_n$ ,  $n_p$  и отношения  $n_n$  к  $n_p$  от  $K$  при значениях  $V$ , близких к напряжению пробоя  $V_{пр}$  (кр. 1-2, 1-3 и 4-5 соответственно).

Когда при  $V \approx V_{пр}$  ОПЗ распространяется на всю толщину  $p$ - или  $n$ -слоя структуры, выражения (6)–(10) для  $V_{пр}$ ,  $n_n$ ,  $n_p$  и  $\tilde{n}$  существенно изменяются. Например, в  $p^+n$ -структуре с тонким  $n$ -слоем, а именно, когда [12, 14]

$$W_n \leq \frac{\sqrt{3}}{4} \varepsilon g \cdot \left( \frac{3 \cdot 10^{15}}{N_D} \right)^{7/8}, \quad \text{мкм}, \quad (11)$$

то при  $K = 1$

$$n_n = n_p = \tilde{n} = 7, \quad V_{пр} = 98 \cdot \left( \frac{W_n \varepsilon g}{\sqrt{\varepsilon}} \right)^{6/7}, \quad \text{В}. \quad (12)$$

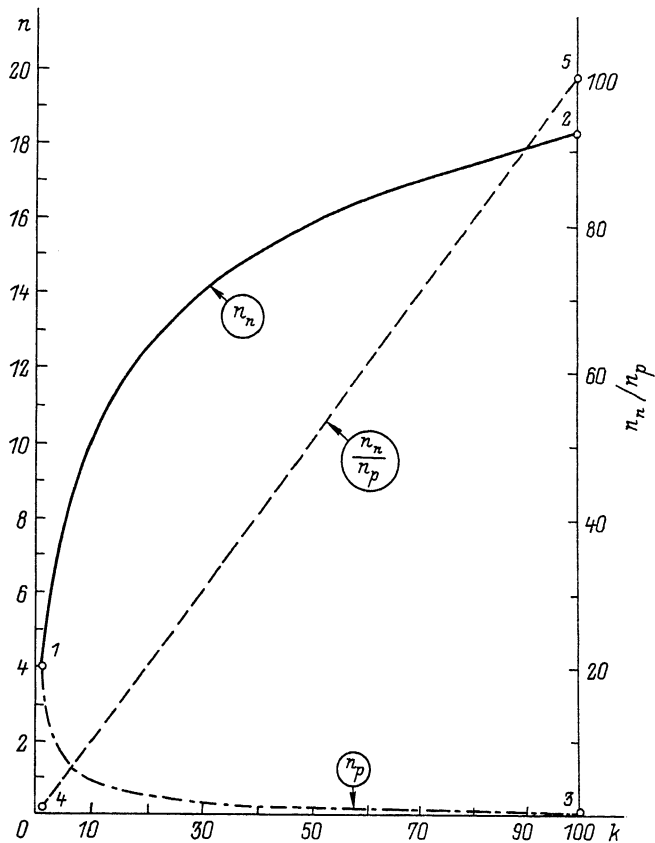


Рис. 2.

В (11) и (12)  $N_D$ ,  $W_n$  и  $\mathcal{E}_g$  измерены в  $\text{см}^{-3}$ , мкм и эВ соответственно.

Выражения (6)–(11) хорошо согласуются с результатами экспериментальных исследований  $p$ - $n$ -структур на основе  $\text{Si}$ ,  $\text{Ge}$  и  $\text{In}_x\text{Ga}_{1-x}\text{As}_y\text{P}_{1-y}$  [1, 4, 9, 11, 15, 16]. Приведем два конкретных примера. При исследовании в [9] лавинного пробоя в  $\text{Ge}$  измеренные значения  $n$  оказались в диапазоне от 3 до 6.6. Такие же значения  $n$  дают и выражения (7)–(10), если учесть, что в  $\text{Ge}$  при используемых в [9] уровнях легирования  $K \approx 2 \div 3$  [1, 4, 6, 9, 15, 16]. В ЛФД на основе МДП-структуры [11] размножение носителей происходит в  $p$ - $\text{Si}$  подложке, в которой  $N_A \approx 10^{15} \text{ см}^{-3}$ . При таком уровне легирования лавинный пробой в  $\text{Si}$  происходит тогда, когда поле вблизи диэлектрика достигает величины  $E_{np} = 3 \cdot 10^5 \text{ В/см}$  [1, 14], а поэтому  $K \approx 10^{-2}$  [1, 4, 6, 15, 16].

Измеренное в [11] значение  $n_n$  при  $V \rightarrow V_{np}$  оказалось равным 0.2. Из формулы же (10) при  $K = 10^{-2}$  следует, что  $n_n = 0.186$ .

На основе (4) можно получить аналитические зависимости  $M(V)$  и избыточных факторов шума  $F(V)$  [1, 4, 7, 16] при различных других профилях  $N(x)$ . Так, в линейном  $p-n$ -переходе [1] при  $K \approx 1$  зависимости  $M_n(V)$ ,  $M_p(V)$ ,  $\tilde{M}(V)$  и  $F(V)$  описываются выражением (3), в котором  $K = 5$ . Если  $\frac{K(E)-1}{2nK(E)}$  меняется существенно слабее, чем  $E^7$ , то формулы (6)–(10) справедливы и при  $K(E) \neq const$ . Они позволяют детальнее, чем в [16, 17], проанализировать лавинные гетероструктуры. При больших  $E$  [12] (4), а поэтому и (6)–(12) не справедливы.

Автор благодарен Л.Н. Курбатову и В.В. Осипову за обсуждение результатов работы.

### Л и т е р а т у р а

- [1] Зи С.М. Физика полупроводниковых приборов, М.: Мир, 1984. 912 с.
- [2] Полупроводниковые фотоприемники, ультрафиолетовый, видимый и ближний инфракрасный диапазоны спектра / Под ред. Стафеева В.И. М.: Радио и связь, 1984. 216 с.
- [3] Тагер А.С., Вальд-Перлов В.М. Лавинно-пролетные диоды и их применение в технике СВЧ. М.: Советское радио, 1968. 480 с.
- [4] Stillman G.E., Wolfe C.M. - Semiconductors and Semimetals / Ed. Willardson R.K., Beer A.C. N.Y.-San-Francisco-London: Acad. Pres., 1977, v. 12, p. 291-393.
- [5] Герлах В. Тиристоры, М.: Энергоатомиздат, 1985. 328 с.
- [6] Грехов И.В., Сережкин Ю.Н. Лавинный пробой  $p-n$ -перехода в полупроводниках, Л.: Энергия, 1980. 152 с.
- [7] Арцис Н.Х., Холоднов В.А. - ФТП, 1983, т. 17, в. 3, с. 510-513; - Радиотехника и электроника, 1984, т. 29, в. 1, с. 151-159.
- [8] Dmitriev A.P., Mikhailova M.P., Yassievich I.N. - Phys. St. Sol. (b), 1987, v. 140, N 1, p. 9-37.
- [9] Miller S.L. - Phys. Rev., 1955, v. 99, N 4, p. 1234-1241.
- [10] Волоконная оптика и приборостроение / Под ред. Бутусова М.М., Л.: Машиностроение, 1987. 328 с.
- [11] Bogdanov S.V., Kravchenko A.B., Plotnikov A.F., Shubin V.E. - Phys. St. Sol. (a), 1986, v. 93, N 1, p. 361-368.
- [12] Холоднов В.А. - Письма в ЖТФ, 1988, т. 14, в. 6, с.

- [13] I t o M., M i k a w a T., W a d o O. - Sol.-St. Electron, 1987, v. 30, N 9, p. 969-971.
- [14] О с и п о в В.В., Х о л о д н о в В.А. - ФТП, 1987, т. 21, в. 11, с. 2078-2081.
- [15] S z e S.M., G i b b o n s G. - Appl. Phys. Lett., 1966, v. 8, N 5, p. 111-113.
- [16] Semiconductors and Semimetals / Ed. Tsang W.T., Orlando-San Diego-N.Y.-London-Toronto-Monreal-Sydney-Tokyo: Acad. Pres., 1985, v. 22. 454 p.
- [17] О с и п о в В.В., Х о л о д н о в В.А. - Письма в ЖТФ, 1985, т. 11, в. 6, с. 362-367.

Поступило в Редакцию  
19 апреля 1988 г.

Письма в ЖТФ, том 14, вып. 15

12 августа 1988 г.

## К ТЕОРИИ НЕЛИНЕЙНЫХ ПОВЕРХНОСТНЫХ ТМ-ВОЛН

П.И. Х а д ж и, Л.В. Ф е д о р о в,  
Е.С. К и с е л е в а

В подавляющем большинстве работ исследование свойств нелинейных поверхностных волн (НПВ) проводится в рамках одноосного приближения для нелинейной среды [1-3]. При этом лишь компонента  $\epsilon_{xx}$  диагонального диэлектрического тензора считается зависящей от продольной составляющей электрического поля  $\mathcal{E}_x$ , тогда как компонента  $\epsilon_{zz}$  предполагается константой:

$$\epsilon_{xx} = \epsilon_0 + \alpha |\mathcal{E}_x|^2, \quad \epsilon_{zz} = \epsilon_z = const. \quad (1)$$

Точные решения уравнений Максвелла для такой среды с учетом граничных условий привели к предсказанию ряда замечательных свойств НПВ, не имеющих аналога в линейной теории. Однако до сих пор не ясна роль нелинейности в компоненте  $\epsilon_{zz}$  диэлектрического тензора. Отметим, что в [3] наряду с аппроксимацией (1) была предложена аппроксимация, в которой компонента  $\epsilon_{zz}$  также является нелинейной функцией поля, причем и в этом случае рассматривалась зависимость компонент диэлектрического тензора от продольной составляющей электрического поля  $\mathcal{E}_x$  в виде:

$$\epsilon_{xx} = \epsilon_x + \alpha |\mathcal{E}_x|^2, \quad \epsilon_{zz} = \epsilon_z + \beta |\mathcal{E}_x|^2, \quad (2)$$

где константы  $\epsilon_x$ ,  $\epsilon_z$ ,  $\alpha$  и  $\beta$  предполагаются зависящими от частоты распространяющейся волны. Однако точных решений уравне-